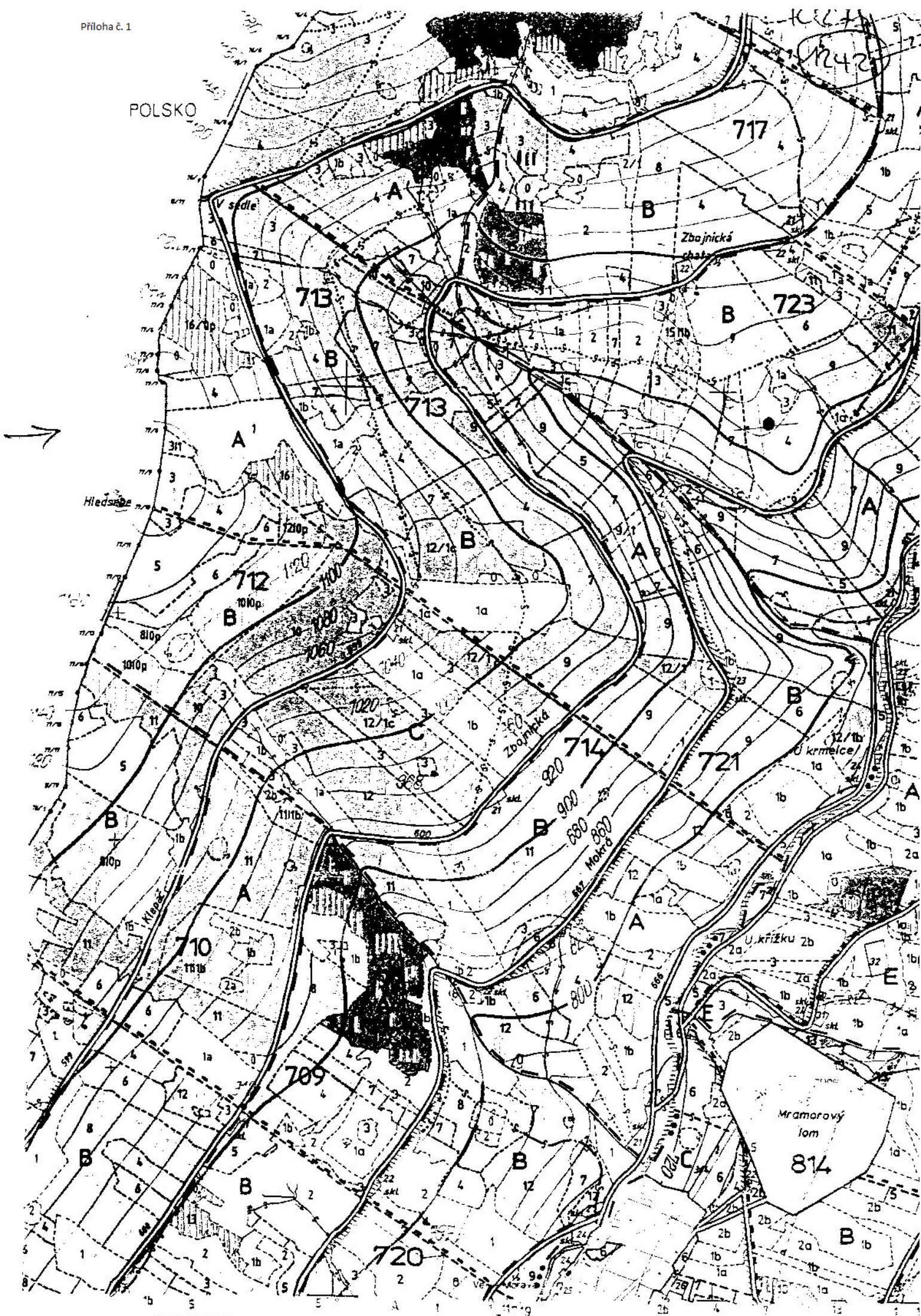


SEZNAM PŘÍLOH

- Příloha č. 1 Sken černobílé kopie porostní mapy
- Příloha č. 2 Archiv scén Sentinel-2
- Příloha č. 3 Archiv scén Landsat
- Příloha č. 4 Seznam ploch použitých spolu se scénami Sentinel-2
- Příloha č. 5 Seznam ploch použitých spolu se scénami Landsat
- Příloha č. 6 Seznam ploch použitých spolu se scénami Sentinel-2 (průměr pixelů)
- Příloha č. 7 Výsledky korelace radiometrických hodnot a údajů z pozemního šetření defoliace

POLSKO



Archiv scén Sentinel-2**Scény Sentiel-2 - předvýběr pro rok 2015**

datum	ID scény	oblačnost* [%]
04.07.2015	S2A_OPER_PRD_MSIL1C_PDMC_20160606T204858_R022_V20150704T101337_20150704T101337	5
11.07.2015	S2A_OPER_PRD_MSIL1C_PDMC_20160812T055659_R122_V20150711T100006_20150711T100008	4
03.08.2015	S2A_OPER_PRD_MSIL1C_PDMC_20160716T073654_R022_V20150803T101010_20150803T101010	9
07.08.2015	S2A_OPER_PRD_MSIL1C_PDMC_20160720T234935_R079_V20150807T095007_20150807T095007	3
10.08.2015	S2A_OPER_PRD_MSIL1C_PDMC_20160515T075426_R122_V20150810T100010_20150810T100010	7
10.08.2015	S2A_OPER_PRD_MSIL1C_PDMC_20160914T033904_R122_V20150810T100016_20150810T100010	7
13.08.2015	S2A_OPER_PRD_MSIL1C_PDMC_20160721T010726_R022_V20150813T101617_20150813T101617	2
13.08.2015	S2A_OPER_PRD_MSIL1C_PDMC_20160706T073105_R022_V20150813T101657_20150813T101657	0
30.08.2015	S2A_OPER_PRD_MSIL1C_PDMC_20160708T074502_R122_V20150830T100547_20150830T100547	5

Scény Sentiel-2 - předvýběr pro rok 2016

datum	ID scény	oblačnost* [%]
13.09.2016	S2A_OPER_PRD_MSIL1C_PDMC_20160915T151344_R122_V20160913T100022_20160913T100504	1
31.08.2016	S2A_OPER_PRD_MSIL1C_PDMC_20160901T172819_R079_V20160831T095032_20160831T095217	1
27.08.2016	S2A_OPER_PRD_MSIL1C_PDMC_20160828T210754_R022_V20160827T101022_20160827T101025	0
04.08.2016	S2A_OPER_PRD_MSIL1C_PDMC_20160806T055109_R122_V20160804T100613_20160804T100613	5
02.07.2016	S2A_OPER_PRD_MSIL1C_PDMC_20160702T150856_R079_V20160702T095219_20160702T095219	8
25.06.2016	S2A_OPER_PRD_MSIL1C_PDMC_20160625T190622_R122_V20160625T100617_20160625T100617	9
23.05.2016	S2A_OPER_PRD_MSIL1C_PDMC_20160523T143616_R079_V20160523T095404_20160523T095404	6
09.05.2016	S2A_OPER_PRD_MSIL1C_PDMC_20160510T002033_R022_V20160509T101645_20160509T101645	3

* podíl oblačnosti ve scéně

Archiv scén Landsat**Scény Landsat - předvýběr pro rok 2014**

datum	ID scény	oblačnost* [%]
07.09.2014	LC81920252014250LGN00	10
16.09.2014	LC81910252014259LGN00	20
20.05.2014	LC81900252014140LGN00	10
17.09.2014	LE71900252014260SG100	10
07.07.2014	LC81900252014188LGN00	20
09.08.2014	LE71890252014221SG100	10
18.09.2014	LC81890252014261LGN00	20
07.09.2014	LC81920262014250LGN00	20
08.09.2014	LE71910262014251SG100	20
24.09.2014	LE71910262014267ASN00	20
20.05.2014	LC81900262014140LGN00	10
07.07.2014	LC81900262014188LGN00	10
08.08.2014	LC81900262014220LGN00	20
17.09.2014	LE71900262014260ASN00	20
06.06.2014	LE71890262014157ASN00	20
16.07.2014	LC81890262014197LGN00	20
09.08.2014	LE71890262014221SG100	20

Scény Landsat - předvýběr pro rok 2015

datum	ID scény	oblačnost* [%]
06.06.2015	LC81920252015157LGN00	10
10.08.2015	LE71910252015222NSG00	10
19.09.2015	LC81910252015262LGN00	10
02.07.2015	LE71900252015183NSG00	10
03.08.2015	LE71900252015215NSG00	10
16.05.2015	LC81890252015136LGN00	10
03.07.2015	LC81890252015184LGN00	10
04.08.2015	LC81890252015216LGN00	10
20.08.2015	LC81890252015232LGN00	10
09.08.2015	LC81920262015221LGN00	10
06.06.2015	LC81920262015157LGN00	10
26.08.2015	LE71910262015238NSG00	0
02.07.2015	LE71900262015183NSG00	10
26.07.2015	LC81900262015207LGN00	10
11.07.2015	LE71890262015192NSG00	0
16.05.2015	LC81890262015136LGN00	10
03.07.2015	LC81890262015184LGN00	10
19.07.2015	LC81890262015200LGN00	10
04.08.2015	LC81890262015216LGN00	10
12.08.2015	LE71890262015224SG100	10

Scény Landsat - předvýběr pro rok 2016

datum	ID scény	oblačnost* [%]
24.06.2016	LC81920252016176LGN00	0
27.08.2016	LC81920252016240LGN00	0
12.09.2016	LC81920252016256LGN00	0
07.05.2016	LC81920252016128LGN00	10
08.06.2016	LC81920252016160LGN00	10
19.08.2016	LE71920252016232NSG00	10
04.08.2016	LC81910252016217LGN00	10
28.08.2016	LE71910252016241NSG00	10
13.09.2016	LE71910252016257NSG00	10
14.09.2016	LC81900252016258LGN00	10
15.09.2016	LE71890252016259NSG00	0
21.07.2016	LC81890252016203LGN00	10
10.07.2016	LC81920262016192LGN00	0
27.08.2016	LC81920262016240LGN00	0
12.09.2016	LC81920262016256LGN00	0
07.05.2016	LC81920262016128LGN00	10
24.06.2016	LC81920262016176LGN00	10
28.08.2016	LE71910262016241NSG00	10
13.09.2016	LE71910262016257NSG00	10
09.05.2016	LC81900262016130LGN00	10
14.09.2016	LC81900262016258LGN00	10
30.09.2016	LC81900262016274LGN00	10
15.09.2016	LE71890262016259NSG00	0
21.07.2016	LC81890262016203LGN00	10
07.09.2016	LC81890262016251LGN00	10

* horní mez pro podíl oblačnosti ve scéně

Plochy pozemního šetření defoliace použité pro stanovení míry korelace s radiometrickými údaji z družicových snímků Landsat						
rok použitých scén	2014		2015		2016	
převládající dřevina	smrk ztepilý	borovice lesní	smrk ztepilý	borovice lesní	smrk ztepilý	borovice lesní
	0323	0623	0323	0623	0323	0623
	0325	0721	0325	0721	0325	0721
	0327	1327	0327	1327	0327	1327
	0908	1417	0908	1417	0908	1417
	1144	1428	1144	1428	1504	1428
	1504	1710	1504	1710	1648	1710
	1648	1807	1648	1807	1828	1807
	1828	2009	1828	2009	2038	2009
	2105	2021	2105	2021	2105	2021
	2211	2521	2211	2410	2211	2410
	2214	2718	2214	2521	2214	2521
	2326	2826	2326	2718	2326	2718
	2518	D100	2518	2826	2518	D100
	2610	G050	2610	D100	2610	G050
	2612	I030	2612	G050	2612	I030
	A100	J040	3117	I030	3117	J040
	B160		A100		A100	
	E040		B070		B070	
	F020		B150		B150	
	F080		B160		E040	
	F230		E040		F020	
	G030		F020		F030	
	G190		F030		F080	
	H090		F080		G030	
	H100		F230		G040	
	H160		G030		G190	
	I180		G040		H020	
	K120		G190		H090	
	K160		H020		H100	
	K280		H090		H160	
	M070		H100		I180	
	M160		H160		K120	
	N070		I180		K160	
	O101		K120		K280	
	P090		K160		M060	
			K280		M070	
			M060		M160	
			M070		N070	
			M160		O101	
			N070		P090	
			O101			
			P090			

Plochy pozemního šetření defoliace použité pro stanovení míry korelace s radiometrickými údaji (průměr za vybrané pixely) z družicových snímků Sentinel-2				
datum pořízení scény	03.08.2015		30.08.2015	
převládající dřevina	smrk ztepilý	borovice lesní	smrk ztepilý	borovice lesní
	0323	0623	0323	0623
	0325	0721	0327	0721
	0327	2021	1144	1327
	0908	2521	1242	1428
	1504	2826	1648	2021
	1828	D100	2038	2521
	2211	G050	2326	2826
	2214	I030	2518	D100
	2326	J040	3117	
	2518		B150	
	3117		B160	
	B070		F230	
	B150		G190	
	B160		H100	
	F020		H160	
	F030		I180	
	F080		K120	
	G030		K160	
	G040		K210	
	H020		M070	
	H090		M160	
	K120		O101	
	M070			
	O101			

Korelace radiometrických dat ze spektrálních pásem senzoru MSI a údajů z pozemního šetření defoliace smrkových porostů (na shodných plochách pozemního šetření jako Tabulka 15 v kapitole 5.2 Reprezentativnost výzkumné plochy pro její okolí)

počet monitorovacích ploch na snímku: 24; datum pořízení snímku 03.08.2015

spektrální pásmo	B02	B03	B04	B05	B06	B07	B08	B8A	B11	B12
korelační koeficient	-0,19	-0,25	-0,04	-0,14	-0,50	-0,50	-0,55	-0,50	0,01	0,25

počet monitorovacích ploch na snímku: 22; datum pořízení snímku 30.08.2015

spektrální pásmo	B02	B03	B04	B05	B06	B07	B08	B8A	B11	B12
korelační koeficient	-0,02	-0,21	-0,05	-0,36	-0,62	-0,65	-0,69	-0,65	-0,16	-0,06

Korelace radiometrických dat ze spektrálních pásem senzoru MSI a údajů z pozemního šetření defoliace smrkových porostů (na shodných plochách pozemního šetření jako Tabulka 15 v kapitole 5.2 Reprezentativnost výzkumné plochy pro její okolí)

počet monitorovacích ploch na snímku: 9; datum pořízení snímku 03.08.2015

spektrální pásmo	B02	B03	B04	B05	B06	B07	B08	B8A	B11	B12
korelační koeficient	0,52	0,62	0,52	0,58	0,70	0,66	0,65	0,65	0,60	0,42

počet monitorovacích ploch na snímku: 8; datum pořízení snímku 30.08.2015

spektrální pásmo	B02	B03	B04	B05	B06	B07	B08	B8A	B11	B12
korelační koeficient	0,44	0,48	0,59	0,60	0,11	-0,01	0,01	0,04	0,52	0,58